

CERTAINS CRITÈRES CONCERNANT  
LE TYPE DES SURFACES DE RIEMANN À  
POINTS DE RAMIFICATION ALGÈBRIQUES

Par

M. RADOJČIĆ

1. — Parmi les critères servant à discerner le type parabolique du type hyperbolique des surfaces de Riemann simplement connexes on peut distinguer deux espèces de critères: dans les uns on considère la distribution des points de ramification en se rapportant à une métrique spéciale, introduite sur la surface, dans les autres on suppose la surface divisée d'une certaine manière en feuillettes et l'on s'occupe principalement de l'image topologique de la configuration de ces feuillettes. Ainsi, dans la première espèce de propositions on peut avoir comme condition déterminant le type parabolique, la divergence d'une intégrale,<sup>1)</sup> tandis que dans la seconde espèce ce peut être une série qui doit diverger et dont les termes expriment une propriété topologique.<sup>2)</sup>

---

<sup>1)</sup> *L. Ahlfors*, Zur Bestimmung des Typus einer Riemannschen Fläche (Comm. Math. Helv. 3, 1931); Sur le type d'une surface de Riemann (C. R. Acad. Paris, 201, 1935); Ueber eine Klasse von Riemannschen Flächen (Soc. Sci. Fenn. 9, 1936); *M. Radojčić*, Über einen Satz von Herrn Ahlfors (Publ. Math. Univ. Belgrade, 1937); *Z. Kobayashi*, Theorems on the conformal representation of Riemann surfaces (Sci. Rep. Tokyo Bunr. Dai. 2, 1935) etc.

<sup>2)</sup> *R. Nevanlinna*, Ein Satz über die konforme Abbildung Riemannscher Flächen (Comm. Helv. 5, 1933); *Z. Kobayashi*, On the type of Riemann surfaces (Sci. Rep. Tokyo Bunr. Dai. 2, 1935); A remark on the type of Riemann surfaces (ibid. 3, 1937) etc.

Dans le présent travail<sup>3)</sup> il s'agira d'un critère de la seconde espèce, s'appliquant aux surfaces de Riemann dont tous les points de ramification sont algébriques.

2. — Considérons la classe suivante de surfaces de Riemann  $S$ :

1.  $S$  est une surface ouverte et simplement connexe;
2. tous les points de ramification de  $S$  sont algébriques et leur ordre ne surpasse pas un nombre entier fixe  $p$ ;
3. la distance sphérique (sphère de Riemann) entre ces points, mesurée sur  $S$ , surpasse une borne positive  $\varepsilon$ .

Supposons d'abord que la surface considérée  $S$  recouvre un plan numérique, soit le plan de  $w$ , et que le domaine qui lui correspond par une représentation conforme biunivoque de  $S$  sur un certain plan de  $z$  soit le cercle  $|z| < R \leq \infty$ , c.à.d. un cercle borné (cas hyperbolique) ou toute la partie finie du plan (cas parabolique). Soient  $A_i, i = 1, 2, \dots$  les points de ramification de  $S$ . D'après la condition 1. leur nombre est illimité, mais dénombrable. Soit  $w = a_i$  la trace de  $A_i$  dans le plan de  $w$ .<sup>4)</sup>

Nous appellerons *feuille*<sup>5)</sup> un domaine ouvert d'une surface de Riemann, qui recouvre le plan de telle sorte que:

1. aucune partie du plan ne soit recouverte plus d'une fois;
2. il ne reste aucun domaine complémentaire;
3. chaque partie de sa frontière soit commune à certains domaines de la surface, extérieurs au feuillet considéré.

Supposons que  $S$  soit divisée en de tels feuillets  $F_k, k = 1, 2, \dots$  le long des demi-droites  $L_i, i = 1, 2, \dots$  ayant leurs

<sup>3)</sup> Nous y refaisons et continuons nos considérations qui devaient paraître comme article dans les „Publications Mathématiques de l'Université de Belgrade“ en 1941, mais le tome des „Publications“, en question, perit complètement à l'imprimerie pendant la guerre.

<sup>4)</sup> Comme il est souvent usage, nous distinguerons les points sur  $S$  de leurs traces dans le plan de  $w$  en désignant les premiers par les lettres majuscules correspondantes.

<sup>5)</sup> Voir ma Note: Sur les domaines fondamentaux des fonctions méromorphes (C. R. Acad. Paris, 190, 1929).

bouts en  $A_i$ , données par les relations suivantes:

$$\begin{aligned} \text{arc } w &= \text{arc } a_i, & |w| &\geq |a_i|, & \text{si } a_i &\neq 0, \\ \text{arc } w &= 0, & \text{si } a_i &= 0; \end{aligned}$$

celà est toujours possible.

Le nombre des points de ramification  $A_i$  situés sur la frontière d'un feuillet  $F_k$  est fini. En effet, s'il ne l'était pas, il y aurait une infinité de ces points, situés sur la frontière d'un certain  $F_k$  et qui appartiendraient à un nombre limité de lignes  $L_i$  ou bien à une infinité de ces lignes. Supposons d'abord que ces points appartiennent à un nombre limité des  $L_i$ . Alors une infinité de ces points se trouveraient sur une seule ligne  $L_i$  et les distances entre ces points, mesurées sur  $S$ , seraient représentées directement par les distances des traces  $a_i$  correspondantes, entre-elles. Ces distances (sphériques) auraient nécessairement pour limite inférieure zéro, ce qui est contraire à la condition 3. du numéro précédent.

Supposons secondement que les points  $A_i$  considérés appartiennent à une infinité de lignes  $L_i$  de la frontière d'un certain feuillet  $F_k$ . Alors, d'après une considération élémentaire des ensembles de telles lignes, il y aurait sur ce feuillet un ensemble-limite d'une suite infinie de ces lignes  $L_i$ ; cet ensemble-limite consisterait en une demi-droite  $L^*$ , partant d'un certain point  $A^*$  et satisfaisant aux relations:

$$\begin{aligned} \text{arc } w &= \text{arc } a^*, & |w| &\geq |a^*|, & \text{si } a^* &\neq 0, \\ \text{arc } w &= \text{const.} & \text{si } a^* &= 0; \end{aligned}$$

ou bien il se réduirait au seul point  $w = \infty$ , que nous désignons alors par  $A^*$ . Une infinité des  $L_i$  de la suite considérée aurait comme bouts des points convergeant vers  $A^*$ , soit  $A_{i_1}, A_{i_2}, \dots, A_{i_m}, \dots$ . Décrivons un cercle de rayon  $\varepsilon$  du point  $A^*$  comme centre. Ce cercle contiendrait une infinité de segments  $A^*A_{i_m}$  qui ne traverseraient aucune ligne  $L_i$  de la frontière du feuillet envisagé. Or, la distance entre deux de ces points  $A_{i_m}$  mesurée sur  $S$  aurait pour limite inférieure, évidemment, zéro, contrairement à la condition 3.

Par conséquent, le nombre des points  $A_i$  situés sur la frontière d'un feuillet étant fini, le nombre des lignes  $L_i$  dont

est construite la frontière d'un feuillet, l'est également. Puisque sur une ligne  $L_i$  peuvent se trouver plusieurs points de ramification, cela veut dire que, généralement, la frontière d'un feuillet consiste en un nombre fini de fragments de ces lignes (fig. 1).

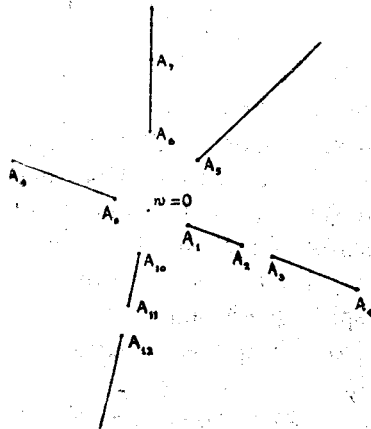


Fig. 1

Divisons l'ensemble des  $F_k$  en générations<sup>6)</sup> que nous définirons de la manière suivante.

Prenons un  $F_k$  quelconque pour génération d'ordre nul  $G_0$ ; l'ensemble des  $F_k$  qui ont au moins une frontière commune avec  $G_0$  s'appelle première génération,  $G_1$ ; l'ensemble des  $F_k$  n'y comptant pas  $G_0$ , qui ont au moins une frontière commune avec  $G_1$  s'appelle seconde génération,  $G_2$ , etc. En général: l'ensemble des  $F_k$  qui ont au moins une frontière commune avec  $G_{v-1}$ , mais qui n'appar-

tiennent pas aux générations précédentes, s'appelle génération d'ordre  $v$  ( $v = 1, 2, \dots$ ),  $G_v$ . Ainsi, l'ensemble des  $F_k$  se trouve groupé en générations  $G_v$  ( $v = 0, 1, 2, \dots$ ).

Désignons par  $\delta(v)$  le nombre des feuillets  $F_k$  contenus dans  $G_v$ .

3. — Ceci étant, voici le théorème que nous allons démontrer d'abord:

Proposition 1. Lorsque la série

$$\sum_{v=0}^{\infty} \frac{v}{\delta(0) + \delta(1) + \dots + \delta(m_v)},$$

où

$$m_v = v \left[ \frac{p}{2} \right] + (v+1) \frac{(6p) \left[ \frac{10\pi}{\varepsilon} \right] - 1}{6p-1},$$

diverge, la surface de Riemann  $S$  est du type parabolique.

<sup>6)</sup> Notion introduite dans l'étude des fonctions analytiques par M. Speiser (Comm. Math. Helv. 1. 1929: 2. 1930).

4. — Désignons par  $O_\rho$  le domaine de  $S$  composé des points dont la distance sphérique d'un point fixe de  $S$ , par ex. d'un certain point  $A_0$  situé dans  $G_0$  (cette distance étant mesurée sur  $S$ ) est plus petite que  $\rho$ . Considérons de plus près la forme de  $O_\rho$ .

$O_\rho$  contient toujours le domaine  $C_0$  suivant: lorsque  $\rho < \pi$  ( $\pi$  est la distance entre deux points opposés de la sphère de Riemann)  $C_0$  se compose de tous les „rayons“ de longueur sphérique  $\leq \rho$ , qu'on peut tracer sur  $S$  du point  $A_0$  dans toutes les directions sans traverser un point de ramification (ce sont des rayons lorsqu'on les considère dans le plan de  $w$ ; sur la sphère ce sont des circonférences). Chaque rayon a donc la longueur sphérique  $\rho$ , excepté dans les directions (qui sont en nombre fini) où l'on rencontre un point de ramification éloigné de  $A_0$  de moins que  $\rho$ ;  $C_0$  est par conséquent l'intérieur d'un cercle dont on a extrait certains segments radiaux (fig. 2). Lorsque  $\rho = \pi$  le cercle devient infini; alors, et de même si  $\rho > \pi$ , la forme de  $C_0$  reste constante et sa frontière est formée de certaines demi-droites.

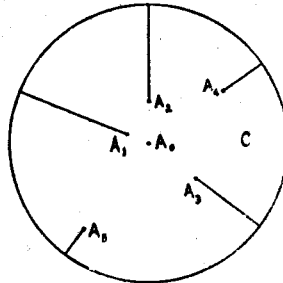


Fig. 2

$$\text{arc}(w - a_0) = \text{arc}(a_i - a_0), |w - a_0| \geq |a_i - a_0|.$$

Si le point  $a_0$  était, lui aussi, un point de ramification,  $C_0$  recouvrirait le plan plusieurs fois.

Les points de ramification, qui sont situés sur la frontière de  $C_0$  sont les centres d'autres domaines appartenant à  $O_\rho$ , semblables à  $C_0$ . Soit  $A_i$  l'un de ces points; on a  $|a_i - a_0| \leq \rho$ . Lorsque  $\rho < |a_i - a_0| + \pi$ ,  $O_\rho$  contient le domaine formé par tous les rayons de longueur sphérique  $\leq \rho - |a_i - a_0|$ , qu'on peut tracer sur  $S$  du point  $A_i$  dans toutes les directions sans rencontrer un point de ramification. Ce domaine existe seulement pour  $\rho > |a_i - a_0|$  et il a une partie commune avec  $C_0$ ; en outre, c'est (comme  $C_0$ ) l'intérieur d'un „cercle“ dont on a extrait certains segments radiaux, mais qui recouvre le plan plusieurs fois, de sorte qu'on peut le considérer comme une partie de la

surface de Riemann de la fonction

$$(w - a_i)^{\frac{1}{q}} \quad (q < p).$$

Lorsque  $\rho \geq |a_i - a_0| + \pi$ , la forme de ce domaine reste constante, la partie circulaire de sa frontière étant disparue (de même qu'il a été dit pour  $C_0$ ). Maintenant, envisageons tous les domaines de l'espèce considérée, c. à d. qui ont pour centres les points de ramification situés sur la frontière de  $C_0$ , et désignons leur ensemble par  $C_1$ .

Les points de ramification situés sur la frontière de  $C_1$  et non sur celle de  $C_0$  sont les centres d'autres domaines de la même forme que les domaines considérés précédemment. Soit par ex.  $A_j$  un tel point de ramification, situé sur la frontière d'un domaine constitutif de  $C_1$ , celui-ci ayant pour centre  $A_i$ . Le point  $A_j$  est, lui-aussi, le centre d'un domaine semblable à  $C_0$  et son rayon a pour valeur

$$\rho - |a_i - c| = |a_j - a_i|.$$

Sa frontière a une partie circulaire lorsque ce rayon est  $< \pi$ ; lorsqu'il est  $\geq \pi$ , la partie circulaire disparaît comme précédemment. Désignons l'ensemble de tous ces domaines par  $C_2$ .

En continuant ainsi, on obtient une suite infinie  $C_1, C_2, C_3, \dots$  et l'on trouve que le domaine  $O_\rho$  est la somme finie de ces ensembles de domaines, de sorte que l'on a

$$O_\rho = C_0 + C_1 + \dots + C_k,$$

où  $k$  est un nombre augmentant avec  $\rho$ . Remarquons que les domaines constituant un certain  $C_s$  peuvent empiéter les uns sur les autres, de même que les divers  $C_s$  entre-eux.

5. — Considérons certains domaines sur  $S$  de la même espèce que  $O_\rho$ , mais pour lesquels  $\rho = \varepsilon/2$  et dont les centres ( $\rho = 0$ ) sont différents; désignons ces domaines par  $E$ .

Dans un domaine  $E$  peut se trouver au plus un point de ramification; car s'il y en avait deux, leurs distances au centre de ce domaine étant  $\rho'$  et  $\rho''$ , la distance de ces points entre eux serait  $\leq \rho' + \rho'' < \varepsilon$  (puisque  $\rho', \rho'' < \varepsilon/2$ ) ce qui contredit l'hypothèse 3 du n° 1.

Lorsqu'aucun point de ramification n'existe dans un  $E$ , c'est un cercle, donc sa frontière est  $< \varepsilon\pi$  (on aurait  $= \varepsilon\pi$  s'il ne s'agissait pas des mesures sphériques). Lorsque le centre d'un domaine  $E$  est un point de ramification, sa frontière est  $< p\varepsilon\pi$  en vertu de l'hypothèse 2 du n° 1. Quand un point de ramification se trouve autre part dans  $E$ , la frontière de  $E$  se projette, en deux cercles tangents, l'un de rayon  $\varepsilon/2$ , l'autre plus petit, donc la frontière est plus petite que dans le cas précédent. Par conséquent, la frontière d'un  $E$  est toujours  $< p\varepsilon\pi$ .

Désignons par  $D_0$  le domaine  $E$  dont le centre est  $A_0$ . Divisons dans la projection de  $D_0$  sur le plan de  $w$  chaque circonférence de la frontière de  $D_0$  en six parties égales et envisageons tous les points correspondants sur  $S$ ; soient  $B_1', B_2', \dots$  ces points. Lorsque la frontière de  $D_0$  se projette en une seule circonférence, cela veut dire tout simplement que nous la divisons en six arcs égaux; lorsque la frontière de  $D_0$  se projette en deux circonférences (fig. 3) nous supposerons, pour préciser, que la division de chaque circonférence en six arcs égaux commence par le point de contact des deux cercles.

Soient maintenant  $E_1', E_1'', \dots$  les domaines  $E$  ayant les points  $B_1', B_1'', \dots$  pour centres; leur nombre est  $\leq 6p$ ; désignons l'ensemble de  $D_0$  et de ces domaines par  $D_1$ . Les frontières des deux domaines  $D_0$  et  $D_1$  n'ont pas de points communs. En effet,  $B_1^{(v)}$  et  $B_1^{(v+1)}$  étant deux points voisins sur la frontière de  $D_0$ , les domaines correspondants  $E_1^{(v)}$  et  $E_1^{(v+1)}$  contiennent, tous les deux, l'arc que nous désignerons par  $B_1^{(v)} B_1^{(v+1)}$ ; or toute la frontière de  $D_0$  est contenue ainsi dans les  $E_1^{(v)}$  et par conséquent elle est contenue à l'intérieur de  $D_1$ .

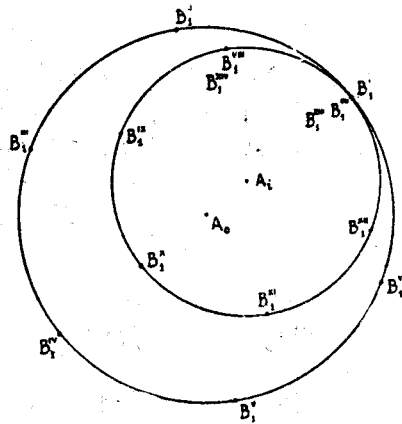


Fig. 3

Divisons maintenant dans la projection chaque circonférence des domaines  $E_1', E_1'', \dots$  en six parties égales, comme

nous l'avons fait précédemment avec  $D_0$ , et envisageons tous les points correspondants sur  $S$ . Soient  $B_2', B_2'', \dots$  ces points et  $E_2', E_2'', \dots$  les domaines  $E$  ayant ces points-ci comme centres. Puisque le nombre de chaque groupe de ces domaines, construits autour de l'un des domaines  $E_1', E_1'', \dots$  est  $\leq 6p$ , leur nombre total est  $\leq (6p)^2$ . Désignons l'ensemble de  $D_1$  et de ces domaines par  $D_2$ . Les frontières de  $D_1$  et  $D_2$  n'ont pas, non plus, de points communs, ce qu'on voit immédiatement, comme dans le cas précédent.

Continuons ainsi indéfiniment. Il en résulte une suite de domaines de  $S$  dont chacun contient le précédent:  $D_0, D_1, D_2, \dots$

Or, comme le nombre des domaines  $E_1', E_1'', \dots$  fut  $\leq 6p$  et celui des domaines  $E_2', E_2'', \dots$  fut  $\leq (6p)^2$ , ainsi le nombre des domaines  $E_3', E_3'', \dots$  est  $\leq (6p)^3$  etc. Donc le nombre des domaines  $E$  dont se composent  $D_0, D_1, D_2, \dots, D_k, \dots$  est au plus égal à

$$\begin{aligned} & 1, \\ & 1 + 6p, \\ & 1 + 6p + (6p)^2, \\ & \dots \\ & 1 + 6p + (6p)^2 + \dots + (6p)^k, \\ & \dots \end{aligned}$$

respectivement. Par conséquent nous pouvons énoncer le

**L e m m e 1.** *Le nombre des domaines  $E$  dont se compose de la manière décrite le domaine  $D_k$  est au plus égal à*

$$N^{(k)} = \frac{(6p)^{k+1} - 1}{6p - 1}.$$

**6.** — Les frontières de  $D_k$  et  $D_{k+1}$  n'ayant pas de points communs, cherchons une borne inférieure pour la distance de ces frontières.

Prenons d'abord  $k=0$ , c. à d.  $D_0$  et  $D_1$ . Considérons la circonférence où se projette la frontière de  $D_0$ , ou, s'il y a deux circonférences, la plus petite des deux, et désignons-la par  $K$  (fig. 4; nous imaginons dans cette figure qu'il y a deux circonférences et que le rayon de  $K$  est donc  $< \varepsilon/2$ ). Envisageons



sur  $K$  deux centres voisins, soit  $b_1'$  et  $b_1''$ , se rapportant aux domaines  $E_1'$  et  $E_1''$ ; soient  $K'$  et  $K''$  les circonférences de centres  $b_1'$  et  $b_1''$  et de rayon  $\varepsilon/2$  de ces deux domaines. Elles se coupent en deux points dont un seul peut se rapporter à la frontière de  $D_1$ , à savoir celui qui est plus éloigné de  $a_0$ ; nous le désignerons par  $b$ .

Le point  $B$  est le plus proche de l'arc  $B_1'B_1''$  parmi tous les points de la frontière de  $D_1$ . En effet, décrivons la circonférence de centre  $a_0$  et de rayon  $|b - a_0|$ ; elle passe par tous les points analogues à  $b$ , tandis que les traces de tous les autres points de la frontière de  $D_1$  se trouvent, évidemment, à l'extérieur de ce cercle. Donc, si nous envisageons sur  $K$  tous les couples de centres voisins, tels que  $b_1'$  et  $b_1''$ , nous voyons que parmi tous les points de la frontière de  $D_1$  les points tels que  $B$  sont les plus proches de  $K$ , c. à d. de la frontière de  $D_0$ .

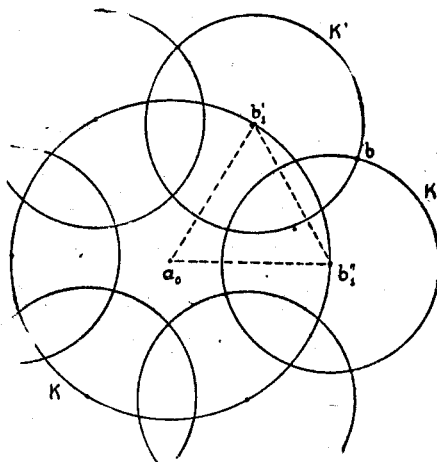


Fig. 4

Or, on calcule facilement une borne inférieure de la distance de  $b$  à  $K$ . Cette distance étant  $\tau$  et le rayon de  $K$  étant  $\rho$ , on a  $\tau = |b - c| - \rho$ . En appliquant le théorème de Pythagore, qui s'exprime sur la sphère par une inégalité, on obtient immédiatement

$$|b - c| > \frac{\sqrt{3}}{2} \rho + \frac{\sqrt{\varepsilon^2 - \rho^2}}{2}$$

et d'ici

$$\tau > \frac{1}{2} \sqrt{\varepsilon^2 - \rho^2} - \frac{2 - \sqrt{3}}{2} \rho.$$

Le second membre de cette inégalité a dans l'intervalle  $(0, \varepsilon/2)$ , où varie  $\rho$ , sa plus petite valeur pour  $\rho = \varepsilon/2$ , à savoir  $(\sqrt{3} - 1)\varepsilon/2$ .

Donc

$$\tau > (\sqrt{3} - 1) \frac{\varepsilon}{3} > \frac{\varepsilon}{5},$$

c. à d.  $\varepsilon/5$  est une borne inférieure de la distance de  $b$  à  $K$ .

Cependant, nous n'avons pas encore tenu compte de ce que  $E_1'$  et  $E_1''$  peuvent contenir des points de ramification et qu'alors leurs frontières peuvent être plus compliquées, comme nous l'avons déjà vu. Soit par ex. dans  $E_1'$  un point de ramification  $A_i$  à la distance  $\eta (< \varepsilon/2)$  de  $B_1'$ . Le domaine  $E$  est alors plus compliqué, sa frontière se projette en deux circonférences,  $K'$  et une autre, plus petite, tangente à la première et de centre  $a_i$ , soit  $K_1'$  (fig. 5 et 6).

Si le point de la frontière de  $D_1$ , le plus rapproché de la frontière de  $D_0$  était un certain point de la frontière de  $E_1'$ , se rapportant à  $K'$ , la considération précédente resterait valable. Supposons donc que le point le plus rapproché soit un certain point se rapportant à la circonférence  $K_1'$ . Si nous désignons par  $d$  et  $d'$  les distances de  $a_i$  à  $K$  et à  $K_1'$ , la distance, considérée sur  $S$ , de  $K_1'$  à  $K$

sera  $d + d'$ .

Nous distinguons deux cas, selon que  $A_i$  se trouve dans un seul des domaines  $E_1', E_1'', \dots$  ou bien dans les parties communes aux deux ou à plusieurs de ces domaines. Si  $A_i$  se trouve dans un seul de ces domaines, donc dans  $E_1'$  (fig. 5), la circonférence  $K_1'$  est tangente à  $K'$  en un point tel que  $b_1$ . Celui-ci est plus éloigné de  $K$  que le point  $b$ .

Donc on a  $d + d' > \tau > \varepsilon/5$ .

Si  $A_i$  se trouve dans deux domaines  $E_1^{(v)}$  au moins, supposons par ex. que ce soit la partie commune à  $E_1'$  et  $E_1''$  — désignons-la par  $F$  — alors il y a deux ou plusieurs circon-

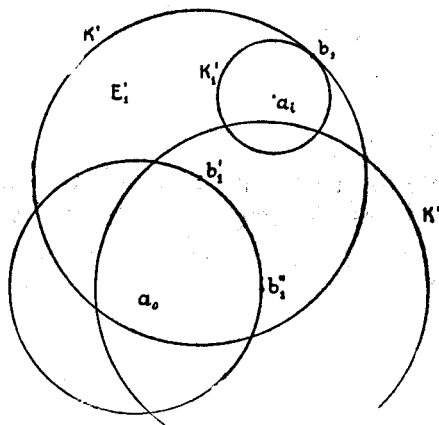


Fig. 5

férences concentriques, telles que  $K_1'$ , soit  $K_1', K_1'', \dots$ , de centre  $a_i$  et tangentes aux circonférences  $K'$  et  $K''$ , et peut-être à d'autres encore. Evidemment, c'est toujours la plus grande de ces circonférences qui compte, car elle seule appartient à la frontière de  $D_1$ . Or, c'est, plus précisément, la circonférence qui appartient à celui des domaines  $E_1^{(\nu)}$ , dont le centre  $B_1^{(\nu)}$  est le plus près de  $A_i$ . Par conséquent, si c'est par ex. la circonférence  $K_1'$  qui compte, il faut supposer que  $A_i$  se trouve dans le triangle curviligne  $AA'B$  — et  $a_i$  dans le triangle correspondant du plan (fig. 6), limité par les arcs  $aa'$  et  $ab$  de  $K$

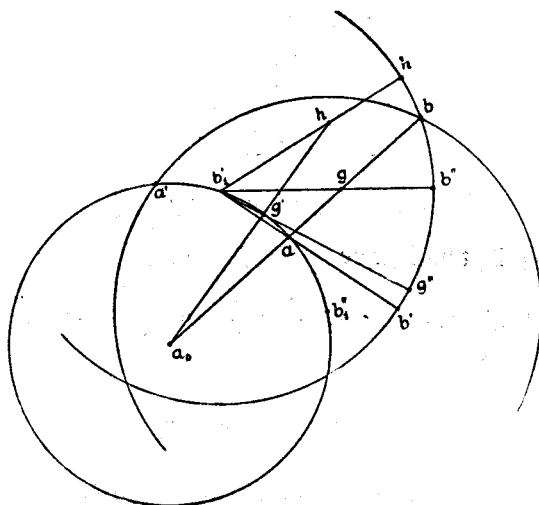


Fig. 6

et  $K''$  et par un segment de droite. Car, si le point  $A_i$  se trouvait dans l'autre moitié du domaine  $F$ , il serait plus rapproché de  $B_1''$  que de  $B_1'$ .

Alors, si  $a_i \equiv a$ , on a  $d=0$  et  $d+d' = |a-b'|$ , où  $b'$  est le point commun de  $K'$  et  $K_1'$ . Si  $a_i \equiv g$ , où  $g$  est la trace d'un point intérieur du segment  $AB$ , on a

$$d+d' = |a-g| + |g-b''| > |a-b''| > |a-b'|,$$

$b''$  étant dans ce cas le point commun de  $K'$  et  $K_1'$ . Donc  $d+d' > |a-b'|$ .

Supposons que  $a_i$  soit un point  $g'$  de l'arc  $AA'$ . Alors on a  $d = 0$  et

$$d + d' = |g' - g''| > |a - b'|,$$

où  $g''$  est maintenant le point commun de  $K'$  et  $K'_1$ . Cette inégalité a lieu, puisque  $g'$  est plus près du centre  $b'_1$  que  $a$ . Donc on a de nouveau  $d + d' > |a - b'|$ .

Supposons enfin que  $a_i$  soit un point  $h$  se rapportant à l'intérieur du triangle  $AA'B$ . Soit  $g'$  le point d'intersection de  $K$  et de la trace de la droite  $A_0H$ . On a

$$d + d' = |g' - h| + |h - h'|,$$

où  $h'$  est maintenant le point commun de  $K'$  et  $K'_1$ . Donc on a

$$d + d' > |g' - h'| > |g' - g''|$$

et par conséquent  $d + d' > |a - b'|$ .

Donc, nous avons toujours  $d + d' > |a - b'|$ .

Or

$$|a - b'| = |b'_1 - b'| - |b'_1 - a|$$

et  $|b'_1 - b'| = \varepsilon/2$ , tandis que

$$|b'_1 - a| = 2\rho \cdot \sin \frac{\pi}{12} \leq \varepsilon \sin \frac{\pi}{12} < \varepsilon \cdot 0,3;$$

donc

$$d + d' > \frac{\varepsilon}{2} - \varepsilon \cdot 0,3 = \frac{\varepsilon}{5},$$

c. à d. la distance entre les points des frontières de  $D_0$  et  $D_1$  a encore comme borne inférieure  $\varepsilon/5$ . C'est donc une borne valable toujours.

Puisque  $D_2$  s'obtient en ajoutant à chaque domaine  $E$  de l'ensemble  $E_1', E_1'', \dots$  des domaines  $E$  de la même manière qu'on a fait précédemment en ajoutant des domaines  $E$  à  $D_0$ , la même borne vaut pour la distance des frontières de  $D_1$  et  $D_2$ , et ainsi de suite. Donc  $\varepsilon/5$  est une borne inférieure valable pour chaque couple de domaines  $D_k$  et  $D_{k+1}$ .

Par conséquent nous pouvons énoncer le

**Lemme 2.** *La distance sphérique sur  $S$  des points de la frontière du domaine  $D_k$  aux points de la frontière du domaine  $D_{k+1}$  est supérieure à  $\varepsilon/5$ , quelque-soit  $k$ .*

7. — Comme conséquence immédiate du lemme 2 nous pouvons dire que tous les points de  $S$ , dont la distance au point  $A_0$ , mesurée sur  $S$ , est inférieure à  $\varepsilon/2, 3\varepsilon/5, 4\varepsilon/5, \dots, (k+2)\varepsilon/5, \dots$  appartiennent sûrement à  $D_0, D_1, D_2, \dots, D_k, \dots$  respectivement.

Or, d'après le lemme 1, le nombre des domaines  $E$  dont se compose  $D_k$  est  $\leq N^{(k)}$ . Puisque chaque  $E$  peut contenir au plus un point de ramification  $A_i$ , il en résulte que le nombre des points de ramification contenus dans  $D_k$  ne surpasse pas  $N^{(k)}$ .

Si nous choisissons  $k$  assez grand pour qu'on ait

$$(k+2) \frac{\varepsilon}{5} > \sigma \quad \text{c. à d.} \quad k > \frac{5\sigma}{\varepsilon} - 2,$$

le domaine formé de tous les points de  $S$  dont la distance sphérique mesurée sur  $S$ , au point  $A_0$  est inférieure à un certain nombre  $\sigma$ , est contenu à l'intérieur du domaine  $D_k$ . Donc le nombre des points de ramification contenus dans ce domaine ne peut pas surpasser  $N^{(k)}$ . Enfin, puisque

$$\frac{5\sigma}{\varepsilon} - 2 < \left[ \frac{5\sigma}{\varepsilon} \right] - 1,$$

on peut choisir

$$k \geq \left[ \frac{5\sigma}{\varepsilon} \right] - 1$$

et par conséquent le nombre des  $A_i$  dont la distance à un certain point de  $S$  est inférieure à  $\sigma$  ne surpasse pas

$$N \left[ \frac{5\sigma}{\varepsilon} \right] - 1 = \frac{(6p) \left[ \frac{5\sigma}{\varepsilon} \right] - 1}{6p - 1}.$$

Donc nous avons le

**Lemme 3.** *Le nombre des points de ramification de  $S$ , dont la distance à un certain point de  $S$  est inférieure à un nombre  $\sigma$  ne surpasse pas*

$$N_\sigma = \frac{(6p) \left[ \frac{5\sigma}{\varepsilon} \right] - 1}{6p - 1}.$$

8. — Nous demandons maintenant: combien de générations  $G_p$  sont-elles nécessaires pour recouvrir l'un des ensembles  $C_k$  de domaines?

Considérons d'abord  $C_0$ . Lorsque  $\rho$  augmente à partir de zéro,  $C_0$  croît à partir du point  $A_0$ , qui appartient au feuillet constituant la génération  $G_0$ . Donc,  $C_0$  est d'abord contenu dans ce feuillet. Lorsque  $\rho$  atteint une certaine valeur,  $C_0$  atteint au moins une ligne  $L_i$  de la frontière de ce feuillet en un endroit d'où l'on passe de ce feuillet à d'autres feuillets. Puisque  $C_0$  croît radialement de  $A_0$  et que  $\rho$  continue à augmenter,  $C_0$  rentrera dans ces feuillets, qui se trouvent au-delà de  $L_i$ . Ceci ayant lieu en un certain point  $T$  de  $L_i$ , on a, plus exactement, plusieurs cas à distinguer.

1. Le bout de la demi-droite  $L_i$  étant  $A_i$ , l'angle formé par  $L_i$  et la demi-droite partant de  $A_i$  et passant par  $A_0$  désignons par  $\alpha$  et supposons d'abord que  $\alpha = \pi$ . Alors  $A_0$  se trouvant sur le prolongement de  $L_i$ , on a

$T \equiv A_i$  et  $C_0$  reste, en embrassant  $T$ , dans  $G_0$  (fig. 7, le cas de  $L_1$  et  $A_1$ ).

2. Lorsque  $\pi > \alpha \geq \pi/2$ , on a encore  $T \equiv A_i$  et de cet endroit on passe dans un seul feuillet nouveau, ceci ayant lieu de l'un ou de l'autre côté de  $A_i$  (fig. 7, le cas de  $L_2$  et  $A_2$ ; la flèche désignant l'endroit du passage).

3. Lorsque  $\alpha < \pi/2$ , le point  $T$  est différent de  $A_i$ . Puisque  $L_i$  comprend en général plusieurs segments isolés, soit  $A_i A_i'$ ,  $A_i'' A_i'''$  etc. (fig. 7), qui constituent

la frontière du feuillet envisagé, c. à d. de  $G_0$ , il se peut que  $T$  soit l'un des points  $A_i'$ ,  $A_i''$ ,  $A_i'''$  etc. Alors on a de nouveau les deux cas précédents, c. à d.  $T$  est l'endroit d'où l'on passe dans un seul feuillet nouveau.

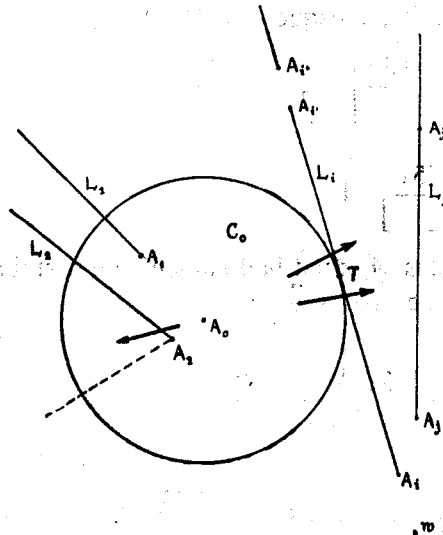


Fig. 7

4. Si  $\alpha < \pi/2$ , lorsque  $T$  est un point intérieur de l'un des arcs  $A_i A_i', A_i'' A_i''', \dots$  on sort de  $G_0$  des deux côtés de  $T$  à la fois, mais puisque  $C_0$  croît radialement, on rentre de chaque côté dans un seul feuillet nouveau. Cependant  $T$  peut être un point ordinaire de  $S$  ou bien un point de ramification. Dans ce dernier cas on rentre des deux côtés de  $T$  dans deux feuillets différents (marqué dans la fig. par deux flèches).

Ainsi, dans tous les cas le domaine  $C_0$  pénètre, après avoir traversé le point  $T$ , au plus dans un ou dans deux feuillets nouveaux et qui se limitent avec  $G_0$ . Par conséquent,  $C_0$  pénètre là dans une seule génération nouvelle, c. à d. dans la suivante,  $G_1$ .

Lorsque  $\rho$  croît d'avantage,  $C_0$  peut rentrer en d'autres endroits (fig. 7, ligne  $L_j$ ) dans des feuillets toujours nouveaux, appartenant aux générations de plus en plus avancées: chaque fois l'ordre maximum des générations prises en considération augmente d'une unité au plus.

Pour obtenir une borne supérieure du nombre des générations auxquelles  $C_0$  arrive ainsi, essayons de trouver le nombre possible des traversements considérés des  $L_i$  par  $C_0$  lorsque ce domaine augmente.

En tout cas ce nombre ne surpasse pas le nombre de ces lignes, ou plutôt le nombre des segments de ces lignes, découpés par les points  $A_i$ ; ou, si l'on veut: le nombre des  $A_i$  situés sur les lignes  $L_i$  considérées. Puisque le rayon  $\rho$  de  $C_0$  croît jusqu'à  $\pi$ , il s'agit là des  $L_i$  dont la distance à  $A_0$  n'atteint pas  $\pi$ . Or, la longueur des  $L_i$  ne surpasse jamais  $\pi$ , de sorte qu'il s'agit seulement des points  $A_i$  dont la distance à  $C_0$  ne surpasse nullement  $\pi$ . Par conséquent tous ces  $A_i$  sont éloignés de  $A_0$  moins que  $2\pi$ . D'après le lemme 3 le nombre de ces points ne surpasse pas

$$N_{2\pi} = \frac{(6\rho) \left[ \frac{10\pi}{\varepsilon} \right] - 1}{6\rho - 1}.$$

Donc, ceci est une borne supérieure pour le nombre des générations de plus en plus élevées, dans lesquelles pénètre  $C_0$  lorsque  $\rho$  augmente. Par conséquent, en ajoutant  $G_0$  on peut dire que  $C_0$  pénètre au plus dans  $1 + N_{2\pi}$  premières générations  $G_0, G_1, G_2, \dots$

Considérons maintenant un domaine de l'ensemble  $C_1$ . Son centre est un point  $A_i$ , situé sur la frontière de  $C_0$ ; donc, dès son origine le domaine considéré appartient à plusieurs feuillets qui s'interchangent autour de  $A_i$ , leur nombre étant  $p$  au plus. Sauf cette différence, toutes les circonstances sont les mêmes que pour  $C_0$ . Donc, nous pouvons immédiatement dire: lorsque  $\rho$  augmente à partir d'une certaine valeur  $\rho$  jusqu'à  $\rho + \pi$ , ce domaine croît à partir de  $A_i$  et pénètre dans un certain nombre de feuillets et de générations nouvelles; mais le nombre de ces générations est plus petit que le nombre des traversements des lignes  $L_k$ , c. à d. il est plus petit que le nombre des points  $A_k$  dont la distance au-centre  $A_i$  est inférieure à  $2\pi$ . Par conséquent, le domaine considéré pénètre, lui aussi, en croissant au plus dans  $N_{2\pi}$  générations nouvelles.

Or,  $C_1$  s'étale des le début dans  $\leq p$  feuillets, c. à d. dans  $\leq [p/2] + 1$  générations. Car  $c'$  est le nombre maximum des générations autour d'un point de ramification. En effet, soient  $F', F'', \dots, F^{(s)}$  ( $s \leq p$ ) ces feuillets dans leur ordre cyclique; si par ex.  $F^{(s)}$  appartient à la génération du plus petit ordre, l'ordre augmenté de l'unité correspond à la fois à  $F'$  et à  $F^{(s-1)}$ , le suivant à  $F''$  et  $F^{(s-2)}$  etc. jusqu'à  $F^{(k)}$  où  $k = [s/2]$ , d'où résulte l'affirmation précédente. Par conséquent, un domaine quelconque de l'ensemble  $C_1$  pénètre dans moins que

$$1 + \left[ \frac{p}{2} \right] + N_{2\pi}$$

génération. La même chose a lieu pour chaque domaine de  $C_k$ ,  $k = 2, 3, \dots$

Donc on peut dire: lorsque  $O_\rho$  augmente avec  $\rho$ , aussi longtemps que  $O_\rho$  contient uniquement  $C_0$ , il pénètre dans moins que  $1 + N_{2\pi}$  premières générations; tant que  $O_\rho$  se compose seulement de  $C_0$  et des domaines  $C_1$ , il pénètre dans moins que  $[p/2] + N_{2\pi}$  générations nouvelles, c. à d. en tout dans moins que

$$1 + \left[ \frac{p}{2} \right] + 2N_{2\pi}$$

premières générations; tant que  $O_\rho$  se compose de  $C_0, C_1$  et  $C_2$ , il pénètre lui-aussi dans moins que  $[p/2] + N_{2\pi}$  générations



nouvelles, c. à d. en tout dans moins que

$$1 + 2 \left[ \frac{p}{2} \right] + 3N_{2\pi}$$

premières générations, etc. En général: tant que  $O_\rho$  se compose seulement de  $C_0, C_1, \dots, C_k$ , il pénètre dans moins que

$$1 + k \left[ \frac{p}{2} \right] + (k+1)N_{2\pi}$$

premières générations. Ainsi donc, nous avons obtenu le

*L e m m e 4. Pour recouvrir  $O_\rho$ , composé de  $C_0, C_1, \dots, C_v$ , les générations  $G_0, G_1, \dots, G_m$ , où*

$$m_v = v \left[ \frac{p}{2} \right] + (v+1)N_{2\pi},$$

*suffisent.*

9. — Lorsque  $\rho$  augmente,  $O_\rho$  se complique de plus en plus; il se compose des parties que nous avons désignées par  $C_0, C_1, \dots, C_k$ ;  $k$  augmente à l'infini avec  $\rho$ . Soit  $\rho_k$  la limite inférieure des  $\rho$  pour lesquels  $O_\rho$  possède  $C_k$ ; alors  $C_k$  existe pour chaque  $\rho > \rho_k$ .

L'ensemble de domaines  $C_{k+1}$  prend origine dans un certain point de ramification  $A_i$  lorsque  $O_\rho$  arrive en croissant jusqu'à cet  $A_i$  ou, plus exactement, lorsque l'un des domaines de l'ensemble  $C_k$  arrive avec sa frontière circulaire jusqu'à  $A_i$ . Or, ce dernier domaine a pris naissance dans un certain point  $A_j$  lorsque  $\rho$  avait une valeur moindre, que nous désignerons par  $\rho_k'$ . Puisque ce domaine n'est pas nécessairement le premier de l'ensemble  $C_k$ , on a  $\rho_k \leq \rho_k'$ . D'autre part la distance entre  $A_i$  et  $A_j$  est supérieure à  $\varepsilon$ , de sorte qu'on a

$$\rho_{k+1} - \rho_k' > \varepsilon$$

et à plus forte raison

$$\rho_{k+1} - \rho_k > \varepsilon, \quad k = 1, 2, \dots \quad (1)$$

donc

$$\rho_{k+h} - \rho_k > h\varepsilon, \quad h, k = 1, 2, \dots$$

En posant  $k=1$ ,  $h=v-1$  et puisque  $\rho_i > 0$ , on obtient

$$\rho_v > (v-1)\varepsilon, \quad v=1, 2, \dots$$

et à plus forte raison

$$\rho_v > v \frac{\varepsilon}{2}, \quad v=1, 2, \dots \quad (2)$$

10. — Désignons par  $f(\rho)$  le nombre des feuilletts  $F_i$  ayant des points communs avec le domaine  $O_\rho$  et par  $g(\rho)$  l'ordre le plus élevé des générations qui ont des points communs avec  $O_\rho$ . D'après la définition des nombres  $\delta(v)$  (voir le n° 2) on a

$$f(\rho) \leq \sum_0^{g(\rho)} \delta(\mu). \quad (3)$$

Soit  $N(\rho)$  le nombre des points de ramification contenus dans  $O_\rho$ , c. à d. dont la distance sphérique au pont  $A_0$  situé dans  $G_0$  est plus petite que  $\rho$ . Puisque la distance sphérique entre les points de la frontière d'un feuillet et le point  $w=a_v$  considéré sur le même feuillet est au plus égale à  $\pi$ , le nombre des points de ramification situés sur la frontière d'un  $F_k$  est, d'après le lemme 3, au plus égal à  $N\pi$ . Donc on a

$$N(\rho) \leq N\pi f(\rho). \quad (4)$$

Enfin, désignons par  $n(\rho)$  le nombre des points de ramification contenus dans  $O_\rho$ , mais chacun pris autant de fois que son degré de ramification (c. à d. l'ordre diminué d'un) contient d'unités. On a évidemment

$$n(\rho) < \rho N(\rho). \quad (5)$$

De (3), (4), et (5) résulte

$$n(\rho) < \rho N\pi \sum_0^{g(\rho)} \delta(\mu). \quad (6)$$

11. — Il a été prouvé ailleurs<sup>7)</sup> que la surface de Riemann dont les points de ramification sont tous algébriques est du

<sup>7)</sup> L. Ahlfors, Ueber eine Klasse von Riemannschen Flächen (Comm. Soc. Sc. Fenn., 1936); M. Radojčić, Über einen Satz von Herrn Ahlfors (Publ. Math. Univ. Belgrade, 1937).

type parabolique, lorsque l'intégrale

$$\int \frac{\rho d\rho}{n(\rho)}$$

diverge. Puisque la suite des  $\rho_k, k = 1, 2, \dots$ , est croissante vers l'infini, c'est équivalent à la divergence de la suite des intégrales

$$J_i = \int_{\rho_1}^{\rho_{i+1}} \frac{\rho d\rho}{n(\rho)}, \quad i = 1, 2, \dots$$

D'après (6) on a

$$J_i > \frac{1}{p N \pi} \int_{\rho_1}^{\rho_{i+1}} \frac{\rho d\rho}{g(\rho) \sum_{\mu=0}^{\infty} \delta(\mu)},$$

ce qui peut s'écrire sous la forme

$$J_i > \frac{1}{p N \pi} \sum_{\nu=1}^i \int_{\rho_{\nu}}^{\rho_{\nu+1}} \frac{\rho d\rho}{g(\rho) \sum_{\mu=0}^{\infty} \delta(\mu)}. \quad (7)$$

Considérons l'une quelconque de ces intégrales. Nous y avons  $\rho \leq \rho_{\nu+1}$ . Mais alors (voir le n° 9)  $O_{\rho}$  se compose des  $C_k$  pour lesquels  $k \leq \nu$ . Donc, selon le lemme 4  $O_{\rho}$  ne pénètre alors que dans les générations  $G_m$  où  $m < m_{\nu}$ . D'après la définition de  $g(\rho)$  il en résulte que  $g(\rho) < m_{\nu}$ , donc on a pour chaque intégrale dans (7)

$$\int_{\rho_{\nu}}^{\rho_{\nu+1}} \frac{\rho d\rho}{g(\rho) \sum_{\mu=0}^{\infty} \delta(\mu)} > \frac{\rho_{\nu}(\rho_{\nu+1} - \rho_{\nu})}{g(\rho) \sum_{\mu=0}^{\infty} \delta(\mu)},$$

d'où, en appliquant (1) et (2) on obtient

$$J_i > \frac{1}{p N \pi} \sum_{\nu=1}^i \frac{\rho_{\nu}(\rho_{\nu+1} - \rho_{\nu})}{m_{\nu} \sum_{\mu=0}^{\infty} \delta(\mu)} > \frac{\varepsilon^2}{2 p N \pi} \sum_{\nu=1}^i \frac{\nu}{m_{\nu} \sum_{\mu=0}^{\infty} \delta(\mu)}.$$

Par conséquent, lorsque la série

$$\sum_0^{\infty} \nu \frac{\nu}{m_\nu \sum_0^{\nu} \delta(\mu)},$$

où

$$m_\nu = \nu \left[ \frac{p}{2} \right] + (\nu + 1) N_{2\pi},$$

diverge, la suite des intégrales  $J_i$  diverge d'autant plus et d'après le théorème mentionné le type de  $S$  est parabolique. C'est ce qu'il fallait démontrer.

12. — Ajoutons quelques conséquences immédiates de la proposition I. A la place des  $m_\nu$ , on peut choisir n'importe quelle suite de nombres supérieurs à  $m_\nu$ . Ainsi, en posant

$$m = \left[ \frac{p}{2} \right] + \frac{(6p)^{\left[ \frac{10\pi}{6} \right]} - 1}{6p - 1}$$

on a

$$m_\nu < (\nu + 1)m,$$

et par conséquent

$$\begin{aligned} & \sum_1^{\lambda} \nu \frac{\nu}{\delta(0) + \delta(1) + \dots + \delta(m_\nu)} > \\ & > \sum_1^{\lambda} \nu \frac{\nu}{\delta(0) + \delta(1) + \dots + \delta[(\nu + 1)m]} = \\ & - \sum_2^{\lambda+1} \nu \frac{\nu - 1}{\delta(0) + \delta(1) + \dots + \delta(\nu m)} > \\ & > \frac{1}{2} \sum_2^{\lambda+1} \nu \frac{\nu}{\delta(0) + \delta(1) + \dots + \delta(\nu m)}, \end{aligned}$$

donc la

**Proposition II.** Si la série

$$\sum_0^{\infty} \nu \frac{\nu}{\delta(0) + \delta(1) + \dots + \delta(\nu m)}, \quad (10)$$

où  $m$  a la valeur (9) di erge, la surface de Riemann  $S$  est du type parabolique.

Les termes des séries (8) ou (10) sont, à des facteurs bornés près, les valeurs réciproques des moyennes arithmétiques

$$M_h^k[\delta(\mu)] = \frac{\delta(h) + \delta(h+1) + \dots + \delta(k)}{k-h+1}.$$

En effet,

$$\frac{\delta(0) + \delta(1) + \dots + \delta(m_\nu)}{\nu} = \frac{m_\nu + 1}{\nu} M_0^{m_\nu}[\delta(\mu)].$$

et

$$\frac{m_\nu + 1}{\nu} < \frac{(\nu + 1)m + 1}{\nu} < 2m + 1.$$

Donc on peut écrire, au lieu de (8) et (10), les expressions

$$\sum_{\nu}^{\infty} \frac{1}{M_0^{m_\nu}[\delta(\mu)]} \quad \text{et} \quad \sum_{\nu}^{\infty} \frac{1}{M_0^{m_\nu}[\delta(\mu)]}.$$

La dernière nous conduit à l'énoncé de la

**Proposition III.** *Lorsque la série des valeurs réciproques de chaque  $m$ -ième moyenne arithmétique des nombres  $\delta(\mu)$  diverge, la surface de Riemann  $S$  est du type parabolique.*

Remarquons qu'au lieu de  $h=0$  on peut prendre  $h$  quelconque, mais constant.

Le critère contenu dans la proposition III se simplifie lorsqu'on peut supposer que la suite des  $\delta(\mu)$  est monotone non-décroissante, car alors

$$M_h^k[\delta(\mu)] \leq \delta(k)$$

et par suite

$$\sum_1^{\lambda} \frac{1}{M_h^{m_\nu}[\delta(\mu)]} \geq \sum_1^{\lambda} \frac{1}{\delta(m_\nu)},$$

donc on a la

**Proposition IV.** *La suite des nombres  $\delta(\mu)$  des feuillettes contenus dans la  $\mu$ -ième génération étant monotone*

non-décroissante, lorsque la série

$$\sum_v \frac{1}{\delta(m_v)}$$

diverge, la surface de Riemann  $S$  est du type parabolique.

Evidemment, au lieu de  $m_v$ , on peut écrire  $mv$ . Puisqu'a'ors

$$\frac{1}{\delta(mv)} > \frac{1}{m} \left( \frac{1}{\delta(mv)} + \frac{1}{\delta(mv+1)} + \dots + \frac{1}{\delta[(m+1)v-1]} \right), \quad v=2, 3, \dots$$

on a

$$\sum_1^\lambda \frac{1}{\delta(mv)} > \frac{1}{m} \sum_m^{\lambda'} \frac{1}{\delta(v)},$$

où  $\lambda' = (m+1)\lambda - 1$ ; donc on a la

**Proposition V.** Lorsque, la suite des  $\delta(v)$  étant non-décroissante, la série des valeurs réciproques des  $\delta(v)$  diverge, la surface de Riemann est du type parabolique.

13. — Il faut pourtant remarquer qu'en général ces critères topologiques n'auront pas la même portée, que le critère sous forme d'intégrale, sur lequel ils sont basés. Ainsi, considérons les fonctions elliptiques. Si la division d'un parallélogramme de périodicité en domaines d'univalence (qui correspondent aux feuilletés) est connue, les nombres  $\delta(k)$  se déterminent immédiatement. Mais il suffit de trouver au lieu des valeurs exactes une majoration convenable des sommes

$$\sum_0^{mv} \delta(\mu).$$

Une telle somme, valable pour toutes les fonctions elliptiques, résulte de ce que chaque parallélogramme de périodicité correspond à un nombre fixe  $q$  de feuilletés: la fonction  $y$  est  $q$ -va'lente.

Considérons, ce qui est plus commode, au lieu des générations de feuilletés de la fonction inverse d'une fonction elliptique, les ensembles correspondants des domaines d'univalence et désignons maintenant ces ensembles par  $G_v$ ; les nombres  $\delta(v)$  restent, évidemment, les mêmes. Envisageons les groupements

analogues des parallélogrammes de périodicité et désignons-les par  $\Gamma_0, \Gamma_1, \Gamma_2, \dots$  (fig. 8). Supposons que  $\Gamma_0$  soit le parallélogramme qui contient  $G_0$ . On a

$$G_0 + G_2 + \dots + G_q \supset \Gamma_0,$$

$$G_0 + G_1 + \dots + G_{2q} \supset \Gamma_0 + \Gamma_1,$$

et c., en général

$$\sum_0^{(v+1)q} G_k \supset \sum_0^v \Gamma_k, \quad v = 0, 1, 2, \dots,$$

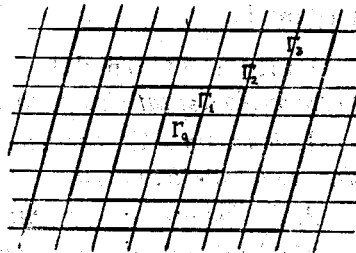


Fig. 8

conséquence immédiate de la définition de  $G_k$  et  $\Gamma_k$ .

Or, les nombres des feuillettes contenus dans les deux membres de la relation précédente sont respectivement

$$\sum_0^{(v+1)q} \delta(k) \quad \text{et} \quad q(2v+1)^2,$$

car  $(2v+1)^2$  est le nombre des parallélogrammes de périodicité contenus dans le parallélogramme  $\Gamma_0 + \Gamma_1 + \dots + \Gamma_v$ . Donc

$$\sum_0^{(v+1)q} \delta(k) > q(2v+1)^2.$$

Par conséquent la série

$$\sum_v^{\infty} \frac{2}{q(2mv+1)^2} \quad (11)$$

est une majorante de la série (10). Or la série (11) est convergente, donc la série (10) l'est également, par conséquent la proposition II ne s'applique pas.

14. — Les considérations incluses dans la démonstration de la proposition I se simplifient notablement lorsqu'on modifie la condition 3 dans la définition des surfaces  $S$ , en exigeant que le nombre des points de ramification dont la distance d'un

point quelconque de la surface de Riemann, mesurée sur celle-ci, reste au-dessous d'une limite fixe, soit borné. Démontrons à cet égard la

**Proposition VI.** *Soit  $T$  une surface de Riemann ouverte et jouissant des propriétés suivantes:*

1. *les points de ramification de  $T$  sont tous algébriques d'ordre non supérieur à  $p$ ;*

2. *le nombre des points de ramification dont la distance d'un point quelconque de  $T$ , mesurée sur  $T$  en mesures sphériques (sphère de Riemann), est au plus égale à  $2\pi$ , ne surpasse pas le nombre entier  $N$ .*

*Lorsque la série*

$$\sum_{\nu}^{\infty} \frac{\nu}{\sum_{\mu=0}^{\nu} \delta(\mu)} \quad (12)$$

où

$$m = N + N \left[ \frac{p}{2} \right]$$

*diverge, la surface  $T$  est du type parabolique.*

Retenons les notations. L'ordre le plus élevé des générations nécessaires pour recouvrir le domaine  $O_{\rho}$  étant  $g(\rho)$ , cherchons une borne supérieure de  $g(\rho)$  quand  $\rho = \nu\pi$ ,  $\nu = 1, 2, \dots$

Supposons d'abord que  $\rho$  augmente de 0 à  $\pi$ . Alors  $\nu = 1$  et il s'agira de  $O_{\pi}$ , c. à d. du domaine de  $T$  dont les points sont à une distance à  $A_0$ , inférieure à  $\pi$ . Les feuillettes  $F_k$  dans lesquels rentre le domaine  $O_{\pi}$  s'interchangent autour des points de ramification qui sont: ou bien contenus dans  $O_{\pi}$ , ou bien situés à une distance à  $O_{\pi}$ , ne dépassant pas la longueur possible d'une partie rectiligne de la frontière d'un feuillet c. à d.  $\pi$ . Il s'agit donc des points de ramification dont la distance à  $A_0$  est sûrement inférieure à  $2\pi$ . D'après la condition 2 de notre proposition leur nombre ne surpasse pas  $N$ .

Or, autour de chaque point de ramification s'interchangent  $p$  feuillettes au plus. Ceux-ci appartiennent, comme nous l'avons vu ( $n^{\circ}$  8), au plus à  $1 + [p/2]$  générations successives. Donc, le nombre des générations successives qui, à partir de  $G_0$ , rentrent



en jeu en ce qui concerne  $O_\pi$ , ne surpasse absolument pas  $N + N[p/2]$ , c. à d. on a

$$g(\pi) \leq N \left( 1 + \left[ \frac{p}{2} \right] \right).$$

Continuons à étendre  $O_\rho$  en laissant  $\rho$  augmenter de  $\pi$  à  $2\pi$ . Le domaine  $O_{2\pi} - O_\pi$  est contenu dans l'ensemble des domaines de la même espèce que  $O_\pi$ , mais dont les points de départ sont les différents points de la frontière de  $O_\pi$ . Comme nous venons de voir, dans chacun de ces domaines l'ordre des générations ne peut augmenter de plus que de  $N + N[p/2]$ , par conséquent l'ordre des générations auxquelles appartiennent les points de  $O_{2\pi}$  ne surpasse pas le double de ce nombre, c. à d. on a

$$g(2\pi) \leq 2N \left( 1 + \left[ \frac{p}{2} \right] \right).$$

En continuant ainsi, nous obtenons la relation générale suivante:

$$g(v\pi) \leq vm \quad \text{où} \quad m = N \left( 1 + \left[ \frac{p}{2} \right] \right). \quad (13)$$

Ceci étant, reprenons les considérations des n° 9—11. Le nombre des points de ramification situés sur la frontière d'un feuillet est, en vertu de la condition 2, au plus égal à  $N$ ; donc on peut poser dans (4) et dans les relations suivantes  $N$  à la place de  $N_\pi$ . Choisissons comme limites des intégrales considérées  $v\pi$  au lieu de  $\rho_v$ . Nous avons alors

$$J_i > \frac{1}{pN} \sum_1^i v \int_{v\pi}^{(v+1)\pi} \frac{\rho d\rho}{\sum_{\mu=0}^{g(\rho)} \delta(\mu)}.$$

D'après (13) on a  $g(\rho) \leq (v+1)m$  dans l'intervalle  $[v\pi, (v+1)\pi]$  et par conséquent

$$J_i > \frac{\pi^2}{pN} \sum_1^i v \frac{2v+1}{\sum_{\mu=0}^{(v+1)m} \delta(\mu)} > \frac{\pi^2}{pN} \sum_2^{i+1} \frac{v}{\sum_{\mu=0}^{mv} \delta(x)}.$$

Donc, la série (12) étant divergente, la suite des intégrales  $J_i$  l'est aussi, d'où résulte la proposition VI.

15. — Il ne serait pas, peut-être, sans intérêt à étendre nos considérations aux surfaces de Riemann plus générales. Faisons donc quelques remarques à ce propos. Des extensions sont possibles sans difficultés. Nous montrerons comment on peut supprimer la condition, que l'ordre des points de ramification soit borné, tout en gardant les deux autres. Donc il s'agira simplement des surfaces  $U$  de Riemann dont tous les points de ramification sont algébriques, la distance sphérique entre ces points, mesurée sur  $U$ , étant au-dessus d'une borne positive  $\varepsilon$ .

Sauf les cas que l'on signalera explicitement, nous retiendrons les mêmes notions et notations.

Soit donc  $G_\nu$ ,  $\nu=1, 2, \dots$  la suite des générations de feuillettes. Désignons par  $p_\mu$  l'ordre maximum des points de ramification situés sur les frontières des feuillettes dont se composent les générations  $G_0, G_1, \dots, G_\mu$ . La suite des  $p_\mu$ ,  $\mu=0, 1, 2, \dots$  est non-décroissante; lorsqu'elle est bornée on a les surfaces  $S$ .

Puisque  $g(\rho)$  est l'ordre maximum des générations qui ont des points communs avec  $O_\rho$ , l'ordre des points de ramification dans  $O_\rho$  a comme borne supérieure  $p_{g(\rho)}$ . Donc

$$n(\rho) < p_{g(\rho)} N(\rho).$$

On a de même dans  $O_\rho$  au lieu de  $N_\pi$  le nombre  $N_\pi(\rho)$  où

$$N_\lambda(\rho) = \frac{(6p_{g(\rho)})^{\left[\frac{5\lambda}{\varepsilon}\right]} - 1}{6p_{g(\rho)} - 1}$$

et d'autre part

$$N(\rho) \leq N_\pi(\rho) \cdot f(\rho),$$

d'où

$$n(\rho) < p_{g(\rho)} N_\pi(\rho) \sum_0^{g(\rho)} \delta(\mu). \quad (14)$$

Passons aux intégrales.

$$J_i = \int_{\rho_i}^{\rho_{i+1}} \frac{\rho d\rho}{n(\rho)} > \sum_1^i \nu \frac{1}{n_{\rho_{\nu+1}}} \int_{\rho_\nu}^{\rho_{\nu+1}} \rho d\rho > \frac{\varepsilon^2}{2} \sum_1^i \nu \frac{\nu}{n_{\rho_{\nu+1}}}. \quad (15)$$

Mais lorsque  $\rho \leq \rho_{\nu+1}$ , les  $C_k$  existent pour  $k \leq \nu$  et pénètrent seulement dans les générations  $G_\mu$  où  $\mu < m_\nu$ , c. à d. on a  $g(\rho) < m_\nu$ , donc

$$p_{g(\rho_{\nu+1})} \leq p_{m_\nu}, \quad (16)$$

d' où

$$N_\lambda(\rho_{\nu+1}) \leq \frac{(6 p_{m_\nu}) \left[ \frac{5\lambda}{\varepsilon} \right] - 1}{6 p_{m_\nu} - 1}. \quad (17)$$

Donc on a de (14), (16) et (17)

$$n(\rho_{\nu+1}) < p_{m_\nu} \frac{(6 p_{m_\nu}) \left[ \frac{5\pi}{\varepsilon} \right] - 1}{6 p_{m_\nu} - 1} \sum_0^{m_\nu} \delta(\mu) \quad (18)$$

et d' après (15)

$$J_i > \frac{\varepsilon^2}{2} \sum_1^i \nu \frac{\nu (6 p_{m_\nu} - 1)}{p_{m_\nu} \left\{ (6 p_{m_\nu}) \left[ \frac{5\pi}{\varepsilon} \right] - 1 \right\} \sum_0^{m_\nu} \delta(\mu)} \quad (19)$$

Par conséquent on peut énoncer la

Proposition VII. Lorsque la série

$$\sum_1^\infty \nu \frac{\nu (6 p_{m_\nu} - 1)}{p_{m_\nu} \left\{ (6 p_{m_\nu}) \left[ \frac{5\pi}{\varepsilon} \right] - 1 \right\} \sum_0^{m_\nu} \delta(\mu)} \quad (20)$$

où

$$m_\nu = \nu \left[ \frac{p_{m_\nu}}{2} \right] + (\nu + 1) \frac{(6 p_{m_\nu}) \left[ \frac{10\pi}{\varepsilon} \right] - 1}{6 p_{m_\nu} - 1} \quad (21)$$

diverge, la surface  $U$  est du type parabolique.

Puisque

$$p \frac{p^s - 1}{p - 1} < s p^{s-1},$$

on peut substituer à la place de (20) la série

$$\sum_v \frac{v}{p_{m_v} \left[ \frac{5\pi}{\varepsilon} \right]^{m_v} \sum_0^{\mu} \delta(\mu)}$$

Mais l'intérêt qu'on pourrait avoir à considérer la proposition VII nous semble être d'autant moindre que l'équation fonctionnelle (19), d'où il faudrait calculer la suite des nombres  $m_v$ , ne se prête pas à un calcul direct.

Des considérations semblables nous donneraient un critère analogue en ce qui concerne les surfaces de Riemann pour lesquelles une borne  $\varepsilon$  imposée à la distance entre les points de ramification n'existerait pas, mais pour lesquelles subsisterait la borne  $p$ . Au lieu de (18) il serait question alors de la divergence de

$$\sum_v \frac{v \varepsilon_{m_v}^2}{(6p)^{d_v} \sum_0^{\mu} \delta(\mu)}$$

où une suite de nombres  $\varepsilon_v$  tendant vers zéro, viendrait à la place de  $\varepsilon$  et où

$$d_v = \left[ \frac{5\pi}{\varepsilon_{m_v}} \right].$$

On pourrait de même supposer à la fois  $p_v \rightarrow \infty$  et  $\varepsilon_v \rightarrow 0$ , mais ces considérations ne nous semblent pas avoir un intérêt suffisant pour être traitées ici.